

金沢工業大学 正員 外崎 明
 東海大学 工学部 正員 赤石 勝
 東海大学 工学部 正員 鈴田 信穂

1) まえがき

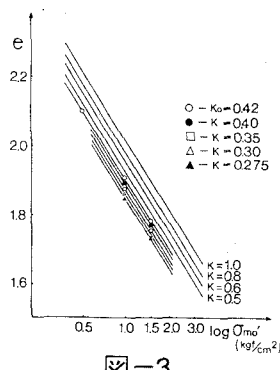
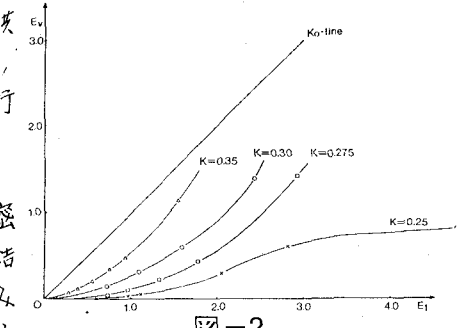
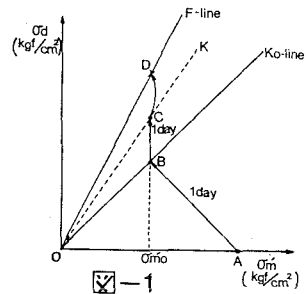
本報告は等方圧密および異方圧密の応力状態がその後の非排水条件下で得られる応力へひずみ関係におよぼす影響について検討したものである。前回の報告では¹⁾²⁾ K_0 値以下の応力状態 ($\sigma_{\text{eff}}' = K = 1 \geq K_0$) の範囲で異方圧密を行った供試体に非排水せん断を実施した。これらの実験結果の整理には双曲線近似法を用い、そのパラメーター a , b がせん断前の等価有効応力 σ_{eff}' と一定の関係が存在することを見い出し、異方圧密時の有効主応力比 K に影響されない応力へひずみ関係について簡便な予測法を提案した。今回の報告では K_0 値より小さな有効主応力比 ($K_0 > K$) で異方圧密を行い、その後の非排水条件下で得られる応力へひずみへ強度特性について調べ、また上記予測法の適用性について検討した。

2) 実験概要

実験に用いた試料は前回と同様に千葉県柏市の沖積地盤より採取してきた練り返し粘土 ($\gamma_s = 2.64$, $W_L = 103.0$, $W_p = 50.0$, シルト分 5%, 粘土分 33%) である。実験はまず、圧密終了時に予定の平均有効主応力 σ_{eff}' ($= 0.5, 1.0, 1.5 \text{ kg/cm}^2$) になるように 24 時間 K_0 圧密を行った後、さらに軸圧が増加すると同時に側圧を減少させ平均主応力を一定に保ちながら予定の最大、最小主応力比 K にならうように 24 時間の異方圧密後、非排水せん断試験を実施した。実験の応力経路概念図を図-1 に示す。なお、すべての供試体についてせん断開始前に 1 箇のバックプレッシャーを加え、せん断速度は $1/16 \text{ mm/min}$ で応力制御法によってせん断試験を行った。

3) 実験結果および考察

K_0 値より小さい主応力比 ($K_0 > K$) の異方圧密供試体は K_0 圧密を行った供試体に平均主応力一定の排水クリープ試験を行った結果にもとづいている。図-2 は排水クリープ試験結果の軸ひずみ ϵ と体積ひずみ ν の関係を示したものである。載荷当初軸ひずみが卓越し、その後徐々に体積ひずみが増加していく傾向が見られる。 $K = 0.25$ の場合クリープ破壊を起こしたが、 $K_0 > K > K = 0.25$ の範囲では K_0 線の方へ向って近づき安定していく傾向を示しており、これら排水クリープ試験によって異方圧密された供試体について非排水せん断試験を実施した。これらの圧密終了時の ϵ ～ $\log \sigma_{\text{mo}'}$ 関係を示したのが図-3 である。排水クリープ破壊を起こさない有効主応力比の範囲では既に述べたように $\sigma_{\text{mo}'}$ が一定であれば、 K の小さいものはどの負のダイレイタンシーの影響によって間げき比が低下するという傾向は K_0 値よりも小さい K においても同様なことが認められ、また図-3 より異方圧密によって増加した等価有効応力増分 $\Delta \sigma_{\text{eff}}'$ と圧密終了時の軸差応力 $\sigma_{\text{do}'}$ の関係を示したのが図-4 である。ほぼ原点を通る一つの直線で表わされ、 K_0 値以下の主応力比で異方



圧密された供試体も同様に異方圧密によるダイレイタンシー係数は一定と考えられる。

図-5は非排水せん断試験結果の有効応力経路を示したものである。K₀値以下で異方圧密された供試体では図より、ほとんど負のダイレイタンシーは生じておらず、K₀, K=0.4 の場合のみ破壊附近でわずかに負のダイレイタンシーが見られる程度である。また、K=0.3, 0.275では

逆に正のダイレイタンシーが生じており、Kの小さいものほどその傾向が見られ、強度も増加していることが確認される。

図-6(a)(b)は異方圧密終了時の有効主応力比Kと強度増加率C_u%および等価有効応力で定義された強度増加率C_{u'0}%の関係を示したものである。C_{u'}%値はKが小さくなるにつれて減少していく傾向が見られ、KによってC_{u'}%値は異なることが認められる。一方(b)図に示したように等価有効応力で定義したC_{u'0}%は図中破線で示されるようKによらずほぼ一定と考えられる。著者らは既にK₀=K₁=K=1の範囲で異方圧密された供試体の強度増加率について等価有効応力に基づき異方圧密に影響されない強度増加率算定法を提案してきたが本実験結果からも図より明らかのようにK₀値以下の範囲でも適用できることが認められる。次に前回の報告で提案した双曲線近似法を今回のK₀値以下で異方圧密された供試体の応力へひずみ関係に適用を試みたのが図-7である。図-3の結果よりそれぞれの等価有効応力を求め、等方圧密せん断試験結果より決定された実験定数、A=2.076, n=0.810, m=0.504, R_f=1.0を(2), (3)式に代入しパラメータ-a, bを決定し(1)式で応力へひずみ関係を予知したのを図中実線で示した。 $\Delta\sigma_d = \sigma_d - \sigma_{d0} = \frac{E_1}{a + b E_1}$ (1)

$$\frac{1}{a} = E_1 = A \sigma_{e0}^n \quad (2) \quad b = \frac{R_f}{2 \cdot m \cdot \sigma_{e0}} \quad (3)$$

ここに、 σ_{d0} : 異方圧密終了時の軸差応力、A, n: 等方圧密せん断試験より決定される実験定数、 σ_{e0} : 異方圧密終了時の等価有効応力、m: 等価有効応力によって定義された強度増加率、R_f; σ_{d0} における破壊比。図より、ほぼ実測値をよく表わしていることが認められ、K₀値より小さいKで異方圧密された場合も(2), (3)式で双曲線近似のパラメータ-a, bを求めることができ十分な精度で応力へひずみ関係を予知できることが認められた。

4)まとめ 排水クリープ破壊にいたらないK₀値より小さい($K_0 > K$)主応力比で異方圧密された供試体について非排水せん断を行い、得られた結果を等価有効応力によって説明することによりK₀値以下においても強度増加率および前回の報告で提案した双曲線近似法で応力へひずみ関係を十分予知できることを示した。なお、本実験を行うにあたって終始御助力を頂いた本学研究生山本正樹君に深く感謝いたします。

参考文献 1)外崎,赤石,柏田 第9回国際地盤力学研究発表会(1982), 2)外崎,赤石,柏田 第37回土木学会年次学術講演会概要集 1982

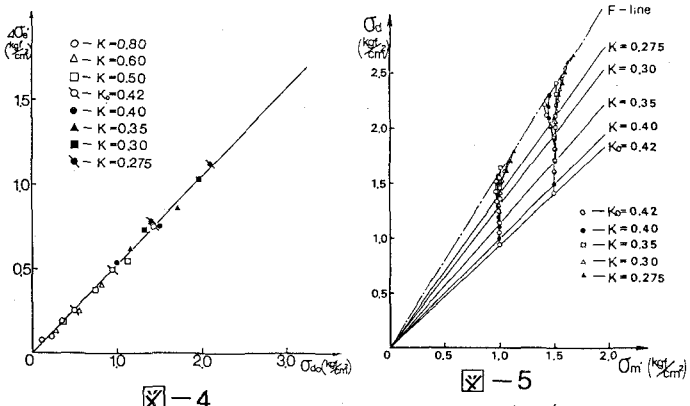


図-4

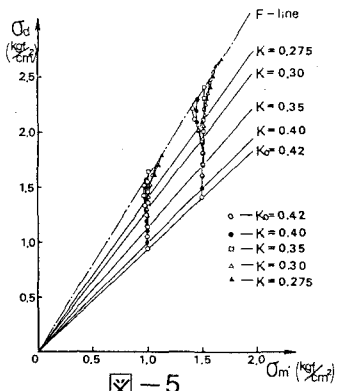


図-5

(a) $\Delta\sigma_d = 0.5 \text{ kg}/\text{cm}^2$
 (b) $\Delta\sigma_d = 1.0 \text{ kg}/\text{cm}^2$
 (c) $\Delta\sigma_d = 1.5 \text{ kg}/\text{cm}^2$

(a)

(b)

(c)

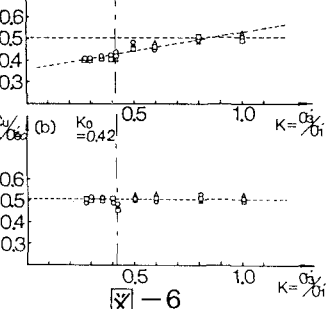
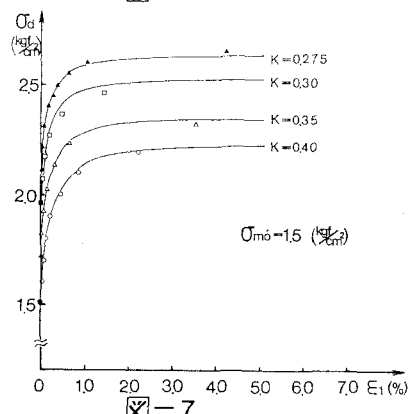


図-6



$\sigma_{d0} = 1.5 \text{ kg}/\text{cm}^2$

図-7